

## Laboratory investigation of the effect of mid-channel bars on the velocity distribution and flow energy loss

Razieh Karimidemneh<sup>1</sup>, Mehdi Meftah Halaghi<sup>\*2</sup>, Amir Ahmad Dehghani<sup>3</sup>,  
Abdolreza Zahiri<sup>4</sup>, Esmaeil Kordi<sup>5</sup>

1. Ph.D. Student in Hydraulic Structures, Dept. of Water Engineering, Gorgan University of Agricultural Sciences and Natural Resources, Gorgan, Iran. E-mail: [r.karimi1017@yahoo.com](mailto:r.karimi1017@yahoo.com)
2. Corresponding Author, Associate Prof., Dept. of Water Engineering, Gorgan University of Agricultural Sciences and Natural Resources, Gorgan, Iran. E-mail: [meftah@gau.ac.ir](mailto:meftah@gau.ac.ir)
3. Professor, Dept. of Water Engineering, Gorgan University of Agricultural Sciences and Natural Resources, Gorgan, Iran. E-mail: [a.dehghani@gau.ac.ir](mailto:a.dehghani@gau.ac.ir)
4. Associate Prof., Dept. of Water Engineering, Gorgan University of Agricultural Sciences and Natural Resources, Gorgan, Iran. E-mail: [zahiri@gau.ac.ir](mailto:zahiri@gau.ac.ir)
5. Assistant Prof., Dept. of Civil Engineering, Mirdamad High Educational Institute, Gorgan, Iran, Iran. E-mail: [esmaeilkordi@gmail.com](mailto:esmaeilkordi@gmail.com)

Article Info	ABSTRACT
<b>Article type:</b> Research Full Paper	<b>Background and Objectives:</b> One of the natural structures in rivers is mid-channel bar that is created due to shear stress decreasing and sediment deposition in the central part of river. Bifurcation and erosion are seen in rivers because of mid-channel bar existence. Also, energy loss is the other impact of mid bars that would intensify the deposition in rivers. Mid-channel bar is known as one of the most important aquatic habitats, so there is necessity to find more information on flow structures around it in operation processes and river restoration. In this research, the flow structures around mid-channel bars are assessed as laboratory study.
<b>Article history:</b> Received: 12.18.2023 Revised: 01.15.2024 Accepted: 01.22.2024	
<b>Keywords:</b> Energy Loss, Flow Resistance, Mid Channel Bar, Sedimentation, Velocity Distribution	<b>Materials and Methods:</b> Three mid-channel bars were made in the shape of rhombic, ellipse and lemniscate in this research. These shapes are common in natural alluvial rivers. This study was established in a laboratory flume by length of 9 meter, and width and height of 0.4 meter. The bed slope was fixed of 0.0007. This flume was located in the water and sediment research laboratory in Gorgan University of agricultural sciences and natural resources. Three-dimensional velocity of flow was collected using an electromagnetic current velocity sensor with a frequency of 30 Hz in 39 data points. The flow discharge was fixed as 4.5 liter per seconds using a frequency flow meter. The flow regime was subcritical and turbulent in all examinations.
	<b>Results:</b> Findings showed that bar shapes have different impacts on flow structures and amounts of energy losses. Comparison between plots implied that there are similar conditions in elliptical and lemniscate shapes but a little different in rhombic case. The variation range of transverse velocity was between 0.4 to 1.6 times of average value for all shapes. According to the results, the existence of elliptical bar led to significant tolerance in longitudinal velocity in all axes (between 0.5 to 1.6 times the average in left and right axes and 0.2 to 1.4 times the average value in central line), but these tolerances were not significant for lemniscate and rhombic bars (between 0.8 to 1.2 times the average value in left and right axes and between 0.8 to 1.4 times the average value for central axis). The

---

---

variation of vertical velocity in middle axis presented the maximum decrease before facing elliptical bar and similar conditions for this axis in facing with lemniscate bar, except that this decrease is started exactly at facing point here. In addition to the values of the velocity components, the direct effect of encountering bars should also be sought on the values of the flow energy as a cumulative indicator of the erosive power of the flow. A more detailed analysis of the graphs shows left that in the and right axes, encountering the elliptical bar has led to an increase in the relative energy of the current by 1.4 times the average, and after passing through the bar, the energy load has decreased to less than the average value. But in the middle axis, the presence of the bar reduced the relative energy of the flow to 0.6 average value and after passing through the bar, this component has an increasing trend.

**Conclusion:** Exposure to the elliptical bar led to the greatest changes in the relative values of the triple velocity components, compared to the rhombic and lemniscate bars. Also, the changes in the total energy load caused by the presence of two rhombic and lemniscate bars are insignificant, but similar to the changes in all three velocity components, transverse, longitudinal, and vertical, the elliptical bar led to significant changes in the relative values of the total energy load along the channel.

---

Cite this article: Karimidemneh, Razieh, Meftah Halaghi, Mehdi, Dehghani, Amir Ahmad, Zahiri, Abdolreza, Kordi, Esmaeil. 2024. Laboratory investigation of the effect of mid-channel bars on the velocity distribution and flow energy loss. *Journal of Water and Soil Conservation*, 31 (1), 93-112.



© The Author(s).

DOI: [10.22069/jwsc.2024.22010.3700](https://doi.org/10.22069/jwsc.2024.22010.3700)

Publisher: Gorgan University of Agricultural Sciences and Natural Resources

---

## بررسی آزمایشگاهی تأثیر پسته‌های رسوبی میانی بر توزیع سرعت و افت انرژی جریان

راضیه کریمی دمنه<sup>۱</sup>, مهدی مفتاح هلقی<sup>۲\*</sup>, امیراحمد دهقانی<sup>۳</sup>, عبدالرضا ظهیری<sup>۴</sup>, اسماعیل کردی<sup>۵</sup>

۱. دانشجوی دکتری سازه‌های آبی، گروه مهندسی آب، دانشگاه علوم کشاورزی و منابع طبیعی گرگان، گرگان، ایران.  
رایانامه: [r.karimi1017@yahoo.com](mailto:r.karimi1017@yahoo.com)
۲. نویسنده مسئول، دانشیار گروه مهندسی آب، دانشگاه علوم کشاورزی و منابع طبیعی گرگان، گرگان، ایران. رایانامه: [meftah@gau.ac.ir](mailto:meftah@gau.ac.ir)
۳. استاد گروه مهندسی آب، دانشگاه علوم کشاورزی و منابع طبیعی گرگان، گرگان، ایران. رایانامه: [a.dehghani@gau.ac.ir](mailto:a.dehghani@gau.ac.ir)
۴. دانشیار گروه مهندسی آب، دانشگاه علوم کشاورزی و منابع طبیعی گرگان، گرگان، ایران. رایانامه: [zahiri@gau.ac.ir](mailto:zahiri@gau.ac.ir)
۵. استادیار گروه مهندسی عمران، مؤسسه آموزش عالی میرداماد گرگان، گرگان، ایران. رایانامه: [esmaeilkordi@gmail.com](mailto:esmaeilkordi@gmail.com)

اطلاعات مقاله	چکیده
<p>نوع مقاله: مقاله کامل علمی - پژوهشی</p> <p>تاریخ دریافت: ۰۲/۰۹/۲۷</p> <p>تاریخ ویرایش: ۰۲/۱۰/۲۵</p> <p>تاریخ پذیرش: ۰۲/۱۱/۰۲</p>	<p>سابقه و هدف: پسته‌های رسوبی میانی از جمله ساختارهای طبیعی در آبراهه‌ها و رودخانه‌ها هستند که در اثر کاهش تنفس برشی و رسوب‌گذاری در مرکز رودخانه ایجاد شده و موجب دورشاخه شدن آبراهه‌ها و افزایش فرسایش جانبی در دو ساحل راست و چپ رودخانه خواهد شد. هم‌چنین، افت انرژی ناشی از وجود پسته‌ها، از دیگر عواملی است که موجب تشدید رسوب‌گذاری در رودخانه می‌شود. این پسته‌ها، به عنوان زیستگاه آبزیان در رودخانه، از اهمیت بسزایی برخوردارند و شناخت دقیق سازوکار جریان پیرامون آن‌ها، از موارد مهم در فرایندهای بهره‌برداری و احیای رودخانه‌هاست. در این پژوهش، الگوی جریان پیرامون پسته‌های رسوبی به صورت آزمایشگاهی مورد بررسی و ارزیابی قرار گرفته است.</p>

مواد و روش‌ها: در این پژوهش، سه پسته به شکل‌های لوزی، بیضی و گوهای که از نمونه‌های متداول پسته‌ها در رودخانه‌های آبرفتی طبیعی هستند، در یک کانال آزمایشگاهی به طول ۹ و عرض و ارتفاع ۰/۴ متر، با شیب ۰/۰۰۰۷ در آزمایشگاه تحقیقات آب و رسوب دانشگاه علوم کشاورزی و منابع طبیعی گرگان، ساخته و استفاده شد. سرعت در سه راستای عرضی، طولی و قائم با استفاده از دستگاه سرعت‌سنج الکترومغناطیس با فرکانس ۳۰ هرتز، در ۳۹ نقطه برداشت شد. دبی به کمک دستگاه دبی‌سنج فرکانسی در تمام آزمایش‌ها، ۴/۵ لیتر بر ثانیه تنظیم شد و رژیم جریان در تمامی آزمایشات، زیربحارانی و آشفته بود.

یافته‌ها: یافته‌ها نشان داد شکل پسته‌ها در سازوکار جریان و میزان افت انرژی، تأثیرات متفاوتی دارد. بررسی و مقایسه نمودارها نشان‌دهنده شرایط تقریباً مشابه برای پسته‌های بیضی و گوهای

واژه‌های کلیدی:  
افت انرژی،  
پسته‌های رسوبی میانی،  
توزیع سرعت،  
رسوب‌گذاری،  
مقاومت جریان

اما قدری متفاوت برای پشته لوزی است. با وجود اختلاف ساختار تغییرات مؤلفه عرضی سرعت در مواجهه با پشته‌های بیضی، گوهای و لوزی، در تمامی موارد، دامنه تغییرات بین ۰/۴ تا ۱/۶ برابر مقدار میانگین است. مطابق نتایج به دست آمده، حضور پشته بیضی منجر به نوسانات قابل توجه مؤلفه طولی سرعت در هر سه محور (بین حدود ۰/۵ تا ۱/۶ برابر مقدار میانگین در محورهای چپ و راست و بین ۱/۴ تا ۰/۲ برابر مقدار میانگین در محور وسط) می‌شود؛ اما برای پشته‌های گوهای و لوزی، این نوسانات در تمامی محورها چندان چشمگیر نیست (بین ۰/۸ تا ۱/۲ برابر مقدار میانگین در محورهای چپ و راست و بین ۰/۸ تا ۱/۴ برابر مقدار میانگین برای محور وسط). اما تغییرات این مؤلفه در مواجهه با پشته‌های گوهای و بیضی بیشتر و در هر سه محور قابل توجه (بین ۰/۵ تا ۲/۳ برابر مقدار میانگین) است. تغییرات مؤلفه قائم سرعت در محور وسط نشان‌دهنده بیشترین کاهش قبل از مواجهه با پشته بیضی و شرایطی مشابه برای همین محور در مواجهه با پشته گوهای است با این تفاوت که آغاز این کاهش منطبق بر نقطه برخورد پشته گوهای است. تأثیر مستقیم مواجهه با پشته‌های رسوبی را علاوه بر مقادیر مؤلفه‌های سرعت، باید بر مقادیر انرژی جریان به عنوان معرف تجمیعی قدرت فرسایندگی جریان نیز جستجو نمود. بررسی جزئی تر نمودارها نشان می‌دهد که در محورهای چپ و راست، مواجهشدن با پشته بیضی منجر به افزایش انرژی نسبی جریان به اندازه ۱/۴ برابر میانگین شده و پس از عبور از پشته، بار انرژی به کمتر از مقدار میانگین کاهش یافته است. اما در محور وسط، وجود پشته، انرژی نسبی جریان را به ۰/۶ مقدار میانگین کاهش داده و پس از عبور از پشته، این مؤلفه روند افزایشی داشته است.

**نتیجه‌گیری:** مواجهه با پشته بیضی منجر به بیشترین تغییرات در مقادیر نسبی مؤلفه‌های سه‌گانه سرعت، در مقایسه با دوپشته لوزی و گوهای شد. همچنین، تغییرات بار انرژی کل ناشی از حضور دوپشته لوزی و گوهای ناچیز بوده ولی مشابه با تغییرات سرعت در هر سه مؤلفه عرضی، طولی و قائم، پشته بیضی منجر به تغییرات قابل توجه در مقادیر نسبی بار کل انرژی در طول کanal شد.

استناد: کریمی دمنه، راضیه، مفتاح هلقی، مهدی، دهقانی، امیراحمد، ظهیری، عبدالرضا، کردی، اسماعیل (۱۴۰۳). بررسی آزمایشگاهی تأثیر پشته‌های رسوبی میانی بر توزیع سرعت و افت انرژی جریان. پژوهش‌های حفاظت آب و خاک، ۳۱(۱)، ۱۱۲-۹۳.

DOI: [10.22069/jwsc.2024.22010.3700](https://doi.org/10.22069/jwsc.2024.22010.3700)



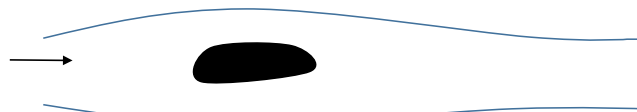
© نویسنده‌گان.

ناشر: دانشگاه علوم کشاورزی و منابع طبیعی گرگان

به حساب آورد (۱). پشتهدارها، سازندهایی یکپارچه در آبراهه و بستر رودخانه محسوب می‌شوند (۲) که با گذشت زمان، باعث تشدید فرسایش در دو ساحل چپ و راست رودخانه خواهند شد. این فرایند، حاصل جدایی جریان در مواجهه با پشتهدار و درنتیجه، دوشاخه شدن آبراهه در طرفین آن است که خود موجب افزایش عرض رودخانه می‌گردد. حاصل این امر، مشهود شدن تغییرات عرضی ناشی از توسعه پشتهداری رسوبی میانی است (۴، ۵).

## مقدمه

فرسایش و رسوب‌گذاری در رودخانه‌ها، علاوه بر ایجاد تغییرات در بستر رودخانه، موجب تغییر در عرض رودخانه نیز می‌شود (۱). فرسایش در ساحل خارجی رودخانه، موجبات افزایش عرض بستر رودخانه را فراهم نموده، منجر به کاهش تنفسی برشی و درنهایت رسوب‌گذاری در مرکز رودخانه خواهد شد (۲) و این امر خود، تشکیل پشتهداری رسوبی میانی<sup>۱</sup> را به دنبال خواهد داشت. تشکیل پشتهداری رسوبی میانی را می‌توان حاصل برهمکنش بین جریان و بار رسوب در هر دو فاز بار بستر و بار معلق



شکل ۱- طرح شماتیک یک پشتهداری رسوبی میانی.

Figure 1. Schematic sketch of a mid-channel bar.

شاخه‌ای شکل می‌گیرد (۸)، از این‌رو، هرگونه اقدام مدیریتی در ساماندهی رودخانه‌ها که موجب کاهش شکل‌گیری پشتهداری رسوبی و جزایر آبرفتی باشد، اکوسیستم و حیات‌وحش منطقه را به مخاطره خواهد انداخت (۷). بنابراین، حفاظت از پشتهداری رسوبی بهدلیل حفاظت از زیست‌بوم گونه‌های آبری، موردن‌توجه قرار گرفته است (۹). مطابق جدول ۱، پشتهداری رسوبی دارای شکل‌های مختلفی هستند که در سه دسته ساده، زاویه‌ای و نامنظم تقسیم‌بندی می‌شوند (۷).

از نظر ساختار هندسی، پشتهدارها به تلماسه‌ها شباهت دارند اما از نظر مقیاس، بزرگ‌ترند. پشتهداری رسوبی میانی، معمولاً در قسمت میانی کanal تشکیل شده و در عین حال، امکان جابه‌جایی دارند (۶)، هرچند ممکن است تا دهه‌ها در مکان اولیه خود باقی‌مانده و ماندگار فرض شوند (۷). این پشتهدارها، در تمامی رودخانه‌ها وجود داشته و از هر دو منظر زیستی و هیدرولیکی مهم و شاخصی برای تعیین سلامت و انرژی سیستم هستند (۸). یافته‌ها نشان می‌دهد بیشترین تنوع زیستی گونه‌های آبری، پیرامون جزایر در رودخانه‌های

جدول ۱- طبقه‌بندی شکل‌های متداول پشت‌های رسوی.

Table 1. Classification of common shapes of mid-channel bars.

شکل Shape	نام Name	طبقه‌بندی Class
	گوشه‌ای Lemniscate	
	بیضی Elliptical	ساده
	عدسی Lenticular	Streamlined
	نیمکره Semi-Circular	
	مثلثی Triangular	زاویه‌ای
	لوزی Rhombic	Angular
	نامنظم Irregular	

و کاهش آن در پایین دست خواهد شد. همچنین، با افزایش تعداد لوله‌ها، عدد رینولذ جریان نیز کاهش می‌یابد اما تغییرات ضریب درگ از نظم خاصی پیروی نمی‌کند. نتایج کار وی همچنین نشان داد بیشترین میزان افت انرژی در نسبت طول به عرض برابر ۳ در هندسه پشت‌های مشاهده می‌شود (۱۱). رودخانه‌های شریانی و پشت‌های رسوی، از متداول‌ترین الگوهای رودخانه‌ای در طبیعت می‌باشند، بنابراین شناخت جامع و یکپارچه خصوصیات و ساختار سه‌بعدی جریان پیرامون پشت‌های رسوی در رودخانه‌های شریانی، از مسائل مهم در مهندسی رودخانه، مطالعات رسوی و محیط‌زیست است. اما با توجه به ساختار پیچیده رودخانه‌های شاخه‌ای، تاکنون مطالعات کمی در این زمینه صورت گرفته است که بیانگر لزوم مطالعه بیشتر در این راستا می‌باشد (۱۲، ۱۳). از جمله مطالعات موجود می‌توان به یافته‌های ریک (۲۰۰۵) و

براساس پژوهش وارد و همکاران (۱۹۹۹)، پشت‌های و جزایر رسوی، عنصر کلیدی بهره‌وری بهینه از اکوسیستم رودخانه‌ها هستند (۱۰) و از آنجاکه رودخانه‌ها و پشت‌های رسوی بر یکدیگر تأثیر دارند، هرگونه فرایند احیای رودخانه‌ها<sup>۱</sup>، باید دربرگیرنده شناخت پشت‌های رسوی و جزایر آبرفتی باشد (۷). پشت‌های رسوی در کاهش انرژی جریان نیز نقش دارند. یک جریان سیلانی حاوی آب و رسوی، در مواجهه با پشت، بخشی از انرژی خود را از دست خواهد داد. در پژوهشی که توسط ریک (۲۰۰۵) انجام شد، تأثیرات ابعاد پشت رسوی بر خصوصیات جریان آب زلال، موردمطالعه قرار گرفت. مشاهدات نشان‌دهنده تأثیر شکل پشت رسوی تشکیل شده، بر خصوصیات جریان بود. براساس یافته‌ها، افزایش تعداد لوله‌ها موجب افزایش تنفسی در بالادرست

به منظور جلوگیری از آشفتگی جریان وجود داشت. اندازه‌گیری عمق جریان توسط یک ترازسنج دیجیتال با دقت  $0.1\text{ میلی‌متر}$  انجام شد. دبی جریان به کمک دستگاه دیجیتال تغییر فرکانس پمپ تنظیم شد و در تمامی آزمایش‌ها، معادل  $4/5$  لیتر بر ثانیه تنظیم گردید. عملکرد این دستگاه به گونه‌ای است که تغییر فرکانس جریان ورودی به پمپ منجر به تغییر سرعت گردش پروانه شده و این امر موجب تغییر دبی خروجی از پمپ می‌شود. بر این اساس تنظیم دبی با استفاده از تنظیم فرکانس جریان الکتریکی ورودی به پمپ به کمک یک پتانسیومتر، صورت می‌گیرد. سرعت جریان سطحی نیز در سه محور  $x$  در راستای عرض کanal،  $y$  در راستای جریان و  $z$  در راستای قائم، با استفاده از دستگاه سرعت‌سنج الکترومغناطیس<sup>۱</sup> JFE Advantech Co. Ltd. با فرکانس  $30$  هرتز، اندازه‌گیری شد. محدوده مشخصات جریان در جدول ۲ ارائه شده است.

هوئا و همکاران (۲۰۰۹) اشاره نمود که تأثیر پشتهداری رسوبی بر کاهش انرژی جریان و تغییر ساختار جریان بر اثر تغییرات شکل پشتہ رسوبی را تأیید می‌نماید (۱۱ و ۱۳). در این پژوهش، الگوی توزیع سرعت سه‌بعدی و افت انرژی پیرامون سه‌پشتہ رسوبی به شکل‌های لوزی، بیضی و گوهای که از نمونه‌های معمول در رودخانه‌های آبرفتی طبیعی می‌باشند، مورد بررسی و ارزیابی قرار گرفته است.

## مواد و روش‌ها

آزمایش‌های این پژوهش در یک کanal آزمایشگاهی به طول  $9$  متر و عرض و ارتفاع  $40$  سانتی‌متر و با شبکه کف  $0/0007$  در آزمایشگاه تحقیقات آب و رسوب دانشگاه علوم کشاورزی و منابع طبیعی گرگان، انجام شد. جنس دیواره‌ها از پلکسی‌گلاس و بستر و بدنه کanal، فلزی بود. در قسمت ورودی کanal، مخزنی به طول یک متر

جدول ۲- محدوده مشخصات جریان.

Table 2. The range of flow characteristics.

محدوده Range	واحد Unit	مشخصه Characteristic
19-21	سانتی‌متر cm	عمق جریان Flow Depth
$< 0.1$	-	عدد فرود Froude Number
25000 - 45000	-	عدد رینولدز Reynolds Number

شد (۱۱ و ۱۴). بنابراین پشتهداری با ابعاد  $40 \times 13 \times 7$  سانتی‌متر، به ترتیب معادل با ضلع بزرگ، ضلع کوچک و ارتفاع، از جنس بتن ساخته شدند و در آزمایش‌ها مورد استفاده قرار گرفتند (شکل ۲).

پشتهداری رسوبی در این پژوهش، به شکل‌های لوزی، بیضی و گوه ساخته شدند که متدائل‌ترین شکل‌های موجود در طبیعت می‌باشند (۷ و ۹). محدوده تغییرات طول به عرض پشتهداری رسوبی با توجه به نتایج پژوهش‌های پیشین،  $3$  در نظر گرفته



شکل ۲- هندسه پشتهداری مورد استفاده شامل بیضی (بالا)، گوهای (وسط) و لوزی (پایین).

Figure 2. The geometry of used bars including elliptical (up), lemniscate (middle), and rhombic (down).

و  $Fr$  عدد فرود جریان می‌باشد (۱۵، ۱۶، ۱۷). این اندازه‌گیری‌ها در ۱۳ مقطع عرضی با فواصل ۱۰ سانتی‌متر از هم (در راستای طولی و عرضی) و در سه محور چپ، وسط و راست جریان انجام شد، بر این اساس در ۳۹ نقطه، اندازه‌گیری مؤلفه‌های سرعت و عمق صورت گرفت. در پایاب کanal نیز، یک سرریز متحرک تعبیه شده بود که در تمام آزمایش‌ها ثابت نگاه داشته شد.

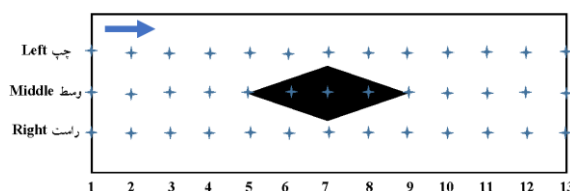
### نتایج و بحث

شکل ۳ موقعیت نقاط اندازه‌گیری عمق و سرعت را به صورت شماتیک ارائه می‌دهد. اندازه‌گیری مقادیر سرعت در فاصله  $1/6$  عمق از سطح جریان انجام شد که بیانگر سرعت متوسط جریان است (۱۸).

به‌منظور حصول اطمینان از تأمین شرایط هیدرولیکی جریان روباز و توسعه‌یافتن جریان، با توجه به مشخصات جریان در کanal، براساس رابطه ۱، پشتہ در فاصله ۴ متری از ابتدای کanal قرار داده شد و پس از تنظیم دبی و گذشت مدت زمان لازم برای تثبیت شرایط و ماندگار شدن جریان، محدوده انجام آزمایش‌ها و اندازه‌گیری سه‌بعدی سرعت (شامل مؤلفه‌های عرضی  $V_x$ ، طولی  $V_y$  و قائم  $V_z$ ) و عمق جریان، در فاصله ۴۰ سانتی‌متر از بالادست و پایین‌دست پشتہ، انتخاب گردید.

$$L_e/h = 76 - 0.0001 Re/Fr \quad (1)$$

که در آن،  $L_e$  فاصله توسعه‌یافتن از ابتدای کanal (متر)،  $h$  عمق جریان (متر)،  $Re$  عدد رینولدز جریان

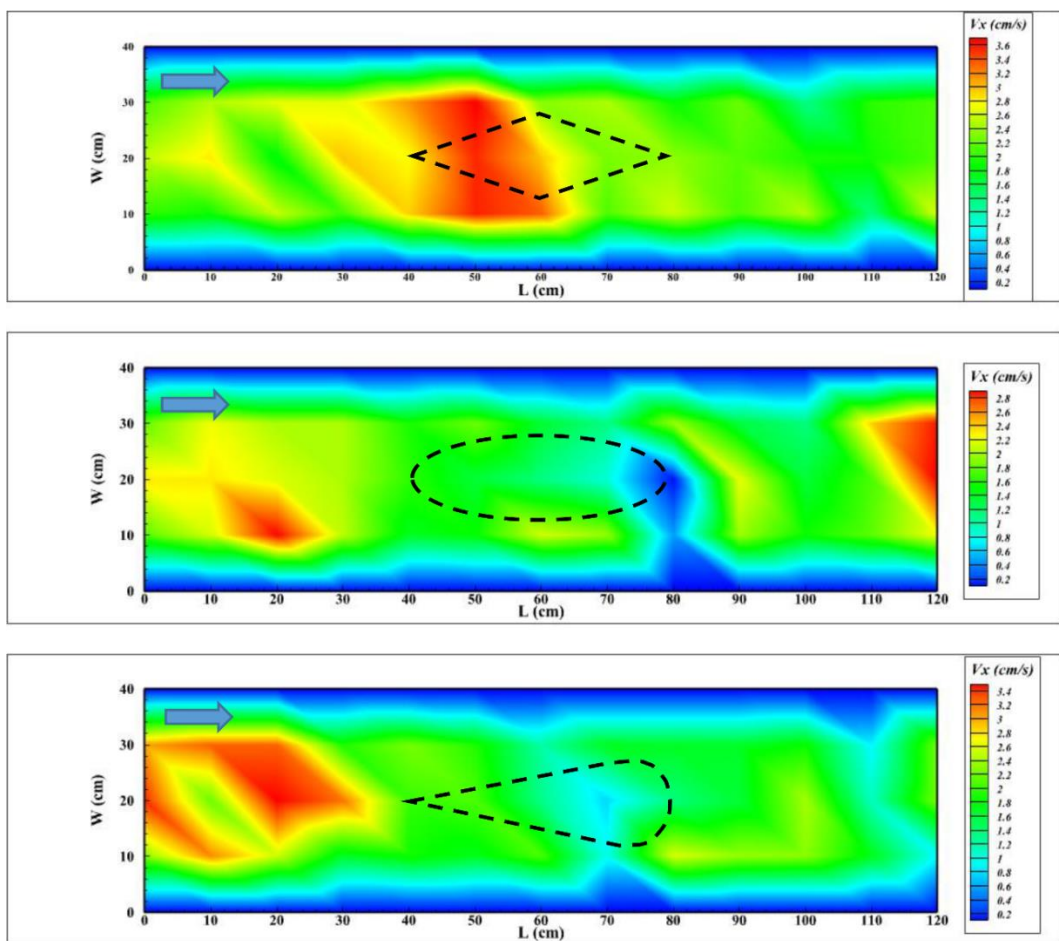


شکل ۳- نقاط اندازه‌گیری سرعت سه‌بعدی و عمق جریان.

Figure 3. 3D velocity and flow depth measurement points.

ارائه شده است. از آنجاکه تمامی پشتهداری در جریان، حالت مستغرق داشته و جریان از روی آنها در حال عبور است، موقعیت پشتهداری در این شکل‌ها، به صورت خط‌چین نشان داده شده است. در این نمودارها، منظور از  $L$  بازه طولی انجام آزمایش‌ها و  $W$  عرض کanal می‌باشد.

در ابتدا، به منظور دستیابی به تصویر کلی تغییرات ساختار مؤلفه‌های سه‌گانه سرعت جریان در مواجهه با پشتهداری مختلف، از نمودارهای هم‌سرعت برای نمایش یکپارچه تغییرات مؤلفه‌ها، در مقاطع عرضی و طولی، استفاده شد. این نمودارها به همراه موقعیت مکانی پشتهداری مورد آزمایش در شکل‌های ۴ تا ۶



شکل ۴- نمودارهای هم‌سرعت مؤلفه عرضی سرعت برای پشتهداری لوزی (بالا)، بیضی (وسط) و گوهای (پایین).

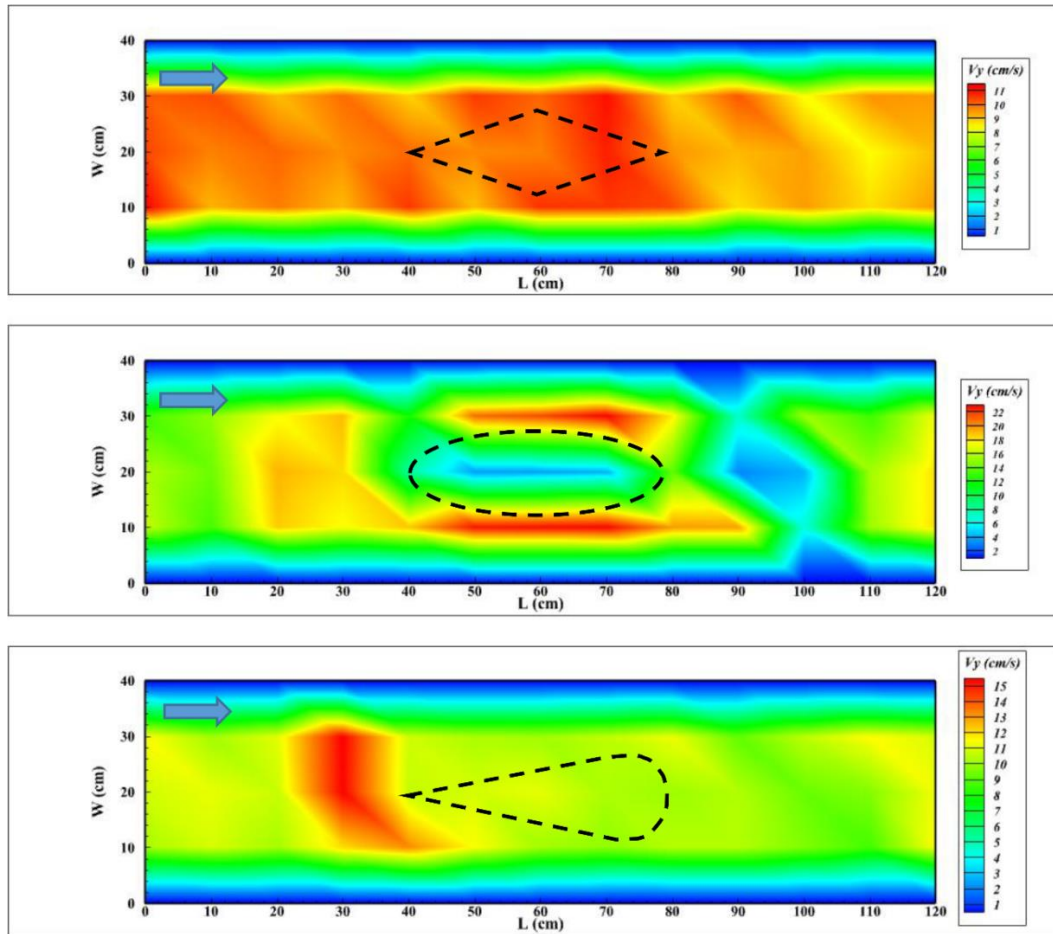
Figure 4. Contour plots of transverse component of the velocity for rhombic (top), elliptical (middle), and lemniscate (bottom) bars.

مقدار قابلی بازمی‌گردد. اما در مورد پشتهداری بیضی و گوهای، نه تنها چنین افزایشی مشاهده نمی‌شود بلکه در مقطع انتهایی پشتهداری بیضی، ناگهان کاهش چشمگیر سرعت نیز اتفاق می‌افتد که این خود می‌تواند به دلیل افت ایجاد شده در اثر بازشدنگی مسیر جریان باشد. در

تغییرات مؤلفه عرضی سرعت در مواجهه با پشتهداری مختلف در شکل ۴، ساختارهای متفاوتی را نشان می‌دهد. در پشتهداری لوزی، در مقاطع برخورده، مقدار مؤلفه عرضی سرعت از ۲ به  $\frac{3}{5}$  افزایش یافته و پس از مقطع شماره ۸ (وسط پشتهدار) به سرعت به

بیضی و گوهای را در خصوص تغییرات مؤلفه عرضی سرعت مشابه و متفاوت با رفتار پشتہ لوزی برآورد نمود.

مورد پشتہ گوهای نیز از کناره‌های پشتہ به سمت مرکز، کاهش سرعت ناچیزی وجود دارد که پس از عبور از آن نقطه، مؤلفه عرضی سرعت مجدداً به همان مقدار قبل بازمی‌گردد. درمجموع می‌توان رفتار پشتہ‌های

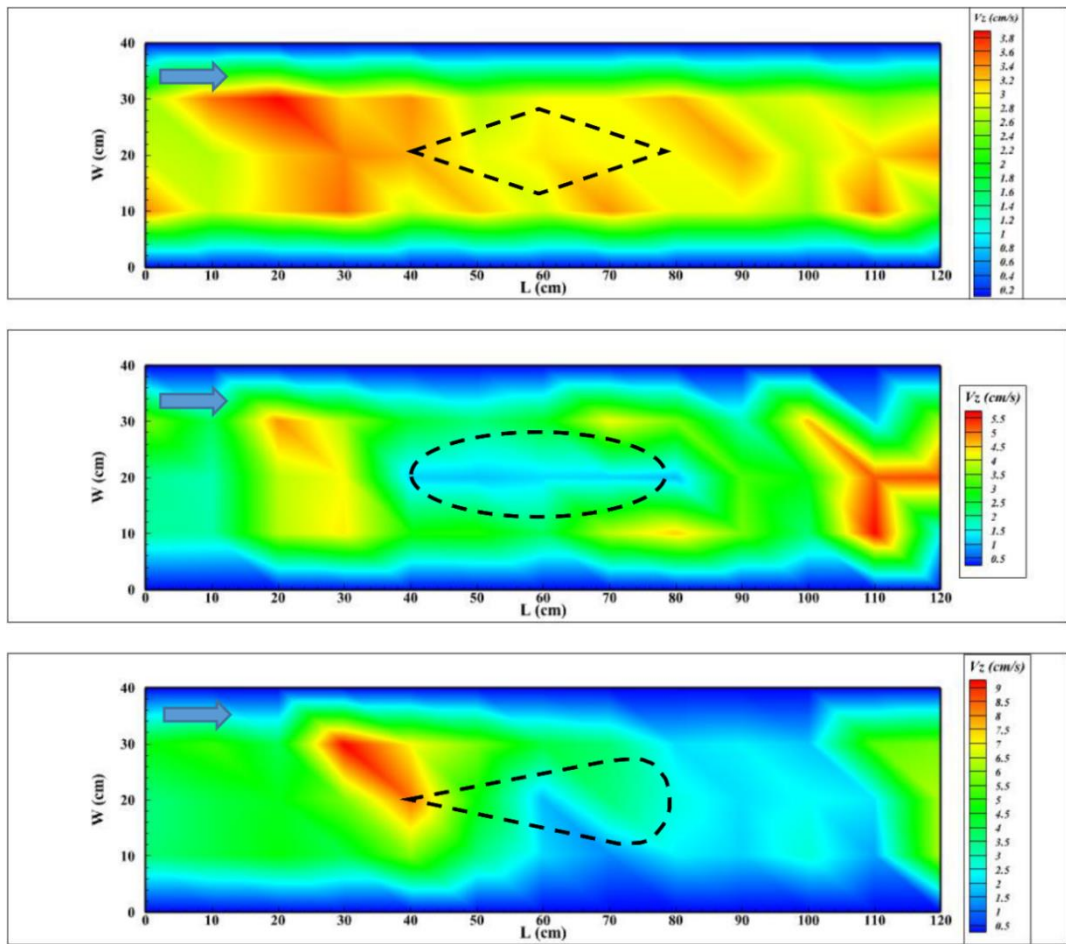


شکل ۵- نمودارهای هم‌سرعت مؤلفه طولی سرعت برای پشتلهای لوزی (بالا)، بیضی (وسط) و گوهای (پایین).

**Figure 5. Contour plots of longitudinal component of the velocity for rhombic (top), elliptical (middle), and lemniscate (bottom) bars.**

مجدداً روند کاهشی حاکم بوده و جریان به سرعت قبلی خود بازگشته است. حضور پشتہ گوهای نیز باعث افزایش مؤلفه طولی سرعت در فاصله ۳۰ سانتی‌متری تا شروع پشتہ و سپس کاهش آن شده است. درمجموع می‌توان رفتار پشتلهای لوزی و گوهای را در خصوص تغییرات مؤلفه طولی سرعت مشابه و متفاوت با رفتار پشتہ بیضی برآورد نمود.

مقدار کلی مؤلفه طولی سرعت در آزمایش مربوط به پشتله لوزی کم‌تر از آزمایش‌های مربوط به بیضی و گوهای است. اما بررسی تغییرات این مؤلفه در هر سه شکل، نشان از حفظ شرایط متعادل جریان با اندکی تغییرات جزئی دارد. تنها در جریان مواجه شده با پشتله بیضی‌شکل، مقدار مؤلفه طولی سرعت در کناره‌های پشته افزایش یافته و پس از گذر از پشته،



شکل ۶- نمودارهای همسرعت مؤلفه قائم سرعت برای پشتهداری لوزی (بالا)، بیضی (وسط) و گوهای (پایین).

**Figure 6.** Contour plots of vertical component of the velocity for rhombic (top), elliptical (middle), and lemniscate (bottom) bars.

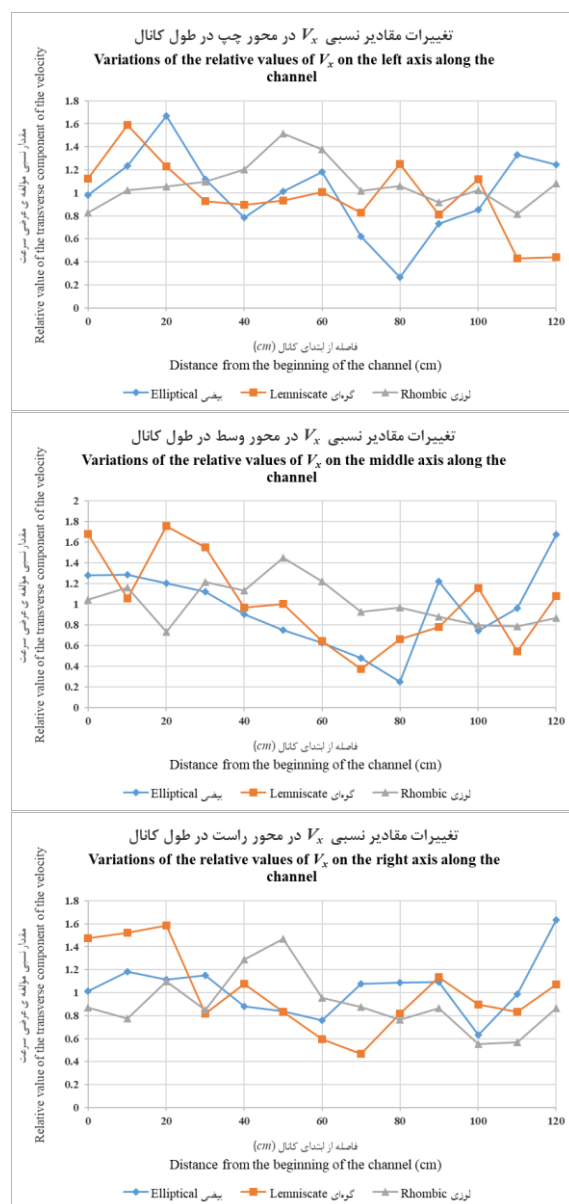
واضح در مواجهه با پشتهداری لوزی و گوهای دچار تغییرات شده، ولی تأثیر پشتہ بیضی شکل بر روی آن زیاد نیست.

به منظور تحلیل بهتر تغییرات سرعت در طول جریان با تمرکز بر جزئیات بیشتر، می‌توان از ترسیم مقادیر مؤلفه‌های سه‌گانه عرضی، طولی و قائم سرعت در محورهای چپ، وسط و راست استفاده نمود. لازم به ذکر است آزمایش‌های مربوط به اندازه‌گیری این مقادیر به صورت مستقل برای پشتهداری مختلف انجام شده است و به منظور یکسان‌سازی شرایط و حذف اثر سایر عوامل که ممکن است بر مقادیر سرعت برداشت شده در نقاط یکسان اثرگذار باشند، از مقدار

نگاه کلی به مقادیر مؤلفه قائم سرعت باید با توجه به این نکته باشد که میانگین کلی این سرعت برای آزمایش پشتہ گوهای بیشتر از آزمایش‌های دو پشته دیگر بوده است. اما با تمرکز بر جزئیات رفتاری این مؤلفه، نوسانات افزایشی و کاهشی در طی بازه برخورد با پشتہ لوزی مشهود است. این مؤلفه در برخورد با پشتہ بیضی، ثبات بیشتری دارد و مواجه شدن با پشتہ گوهای منجر به افزایش ناگهانی سرعت در محور وسط شده است. در نقاط انتهایی و پس از عبور از پشتہ گوهای نیز جریان دچار کاهش شدید مقدار مؤلفه قائم سرعت شده است. در مجموع، مشاهدات نشان می‌دهد که مؤلفه قائم سرعت به طور

سرعت در طول کanal فراهم می‌گردد. نحوه تغییرات مقادیر نسبی مؤلفه‌های سرعت در طول کanal در نمودارهای مجزا به ترتیب در شکل‌های ۷ تا ۹ ترسیم گردیده است. در هر نمودار، مقادیر مربوط به قرارگیری پشت‌های بیضی، گوهای و لوزی به صورت خطوط مجزا ارائه شده است.

نسبی سرعت به جای مقدار سرعت، استفاده شد. این مقدار از تقسیم مقدار مؤلفه سرعت در هر نقطه بر میانگین تمام مقادیر اندازه‌گیری شده در آن آزمایش به دست می‌آید. بدین ترتیب، تغییرات مؤلفه سرعت در آن نقطه نسبت به شرایط کلی حاکم بر مقادیر سرعت سنجیده شده و بنابراین، با حذف اثر سایر عوامل، امکان استخراج تأثیر حضور پشت‌ها بر تغییرات



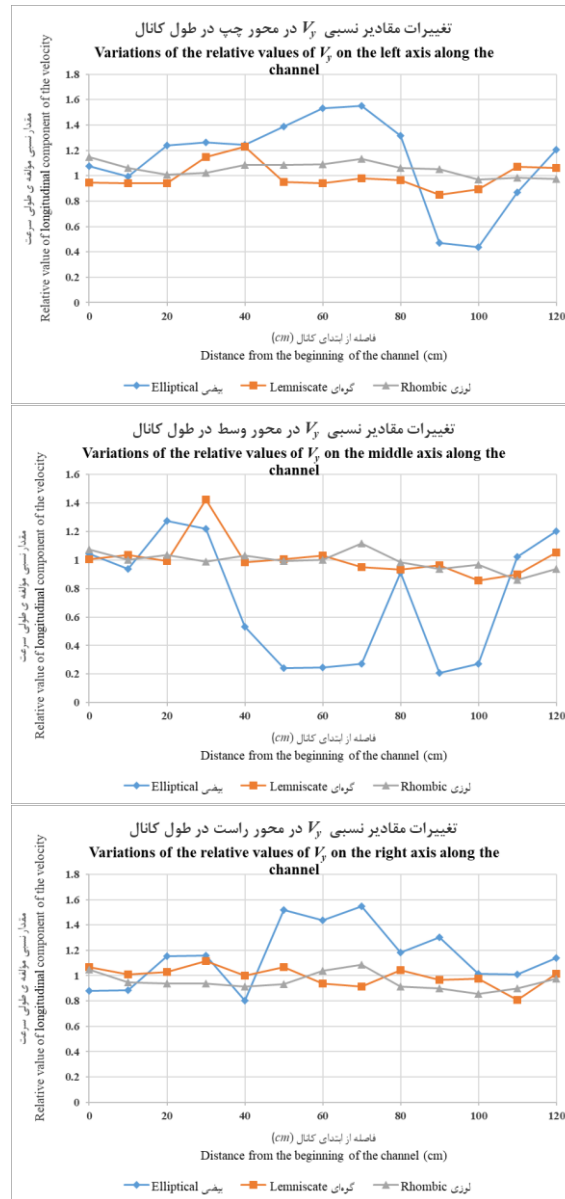
شکل ۷- تغییرات مقادیر نسبی مؤلفه عرضی سرعت در طول کanal در مواجهه با پشت‌های مختلف بیضی، گوهای و لوزی.

Figure 7. Variations in the relative values of the transverse component of the velocity along the channel in the face of different elliptical, lemniscate, and rhombic bars.

پشتهداری بیضی، گوهای و لوزی، در تمامی موارد، دامنه تغییرات بین  $0/4$  تا  $1/6$  برابر مقدار میانگین است.

مؤلفه طولی سرعت از نظر اندازه دارای مقادیری در حدود  $10$  برابر مؤلفه عرضی است. بررسی تغییرات مقادیر نسبی مؤلفه طولی در راستای جریان (شکل ۸) شرایط کاملاً متفاوتی را به ازای شکل‌های مختلف پشتهدار نشان می‌دهد. مطابق نتایج به دست آمده، حضور پشتهدار بیضی شکل منجر به نوسانات قابل توجه مؤلفه طولی سرعت در هر سه محور (بین حدود  $0/5$  تا  $1/6$  برابر مقدار میانگین در محورهای چپ و راست و بین  $0/2$  تا  $1/4$  برابر مقدار میانگین در محور وسط) می‌شود؛ اما برای پشتهدار گوهای و لوزی، این نوسانات در تمامی محورها چندان چشمگیر نیست (بین  $0/8$  تا  $1/2$  برابر مقدار میانگین در محورهای چپ و راست و بین  $0/8$  تا  $1/4$  برابر مقدار میانگین برای محور وسط). علت این امر را می‌توان به آشفتگی کمتر ایجاد شده ناشی از جدایی جریان در پشتهداری لوزی و گوهای مورداستفاده در این پژوهش نسبت داد.

مقدار مؤلفه عرضی سرعت در واقع معرف جریان ثانویه است که در فرایند فرسایش و رسوب‌گذاری در طبیعت مؤثر است، بنابراین تحلیل آن بهویژه در محورهای کناری چپ و راست می‌تواند مفید واقع شود. بررسی این مؤلفه سرعت در شکل ۷ حکایت از نوسانات مقادیر این مؤلفه در راستای طولی در هر سه محور چپ، وسط و راست دارد؛ به‌نحوی که در مواجهه با حضور پشتهدار، مقادیر مؤلفه عرضی سرعت، قدری دچار کاهش شده و پس از عبور از پشتهدار مجدداً افزایش می‌یابد. پر واضح است که کاهش سرعت جریان عرضی در ابتدای برخورد با پشتهداری رسوبی می‌تواند منجر به کاهش قدرت فرسایندگی جریان و بر عکس مهیا شدن شرایط رسوب‌گذاری شده و پس از آن با افزایش سرعت، شرایط معکوس شده و قدرت فرسایندگی جریان افزایش خواهد یافت؛ و چنان‌چه تنفس برشی در این نقاط فراتر از حد آستانه حرکت ذرات باشد، این فرسایش قابل توجه خواهد بود. بررسی و مقایسه دقیق‌تر نمودارها نشان‌دهنده شرایط تقریباً مشابه برای پشتهداری بیضی و گوهای اما قدری متفاوت برای پشتهدار لوزی است. با وجود اختلاف ساختار تغییرات مؤلفه عرضی سرعت در مواجهه با

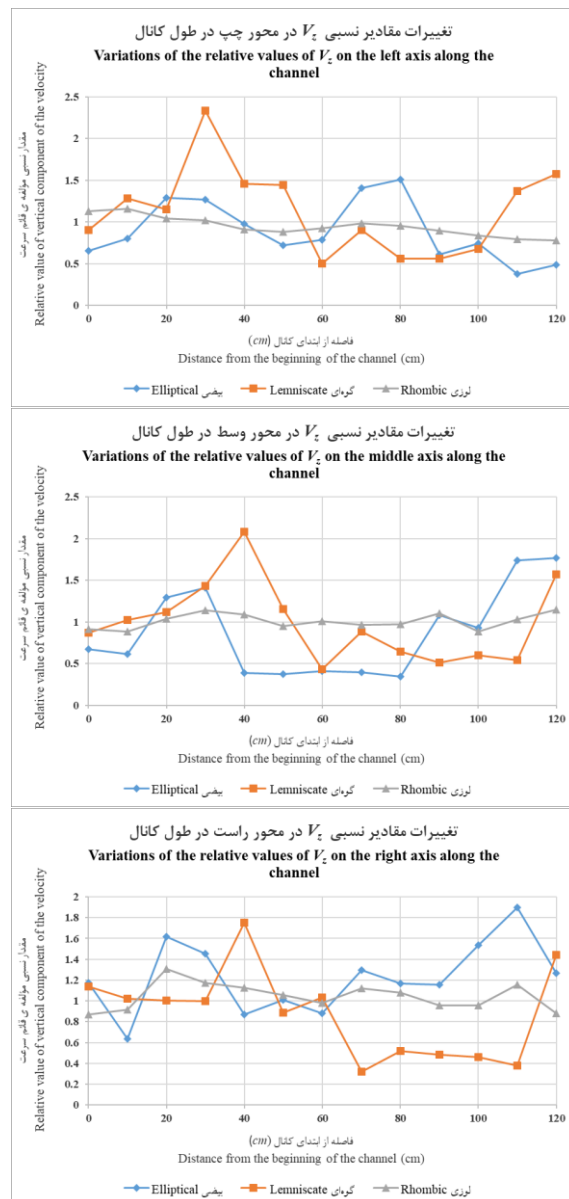


شکل ۸- تغییرات مقادیر نسبی مؤلفه طولی سرعت در طول کanal در مواجهه با پشتهدارهای مختلف بیضی، گوهای و لوزی.

**Figure 8. Variations in the relative values of the longitudinal component of the velocity along the channel in the face of different elliptical, lemniscate, and rhombic bars.**

پشته گوهای، در رأس تیز آن است که منجر به بروز تأثیری مشابه با نوک تیز لوزی بر ساختار جریان شده است.

علت مشابهت رفتار پشته گوهای با پشتهدار لوزی را می‌توان در نحوه قرارگیری گوه در مسیر جریان جستجو نمود که طبق آن، نقطه برخورد جریان با

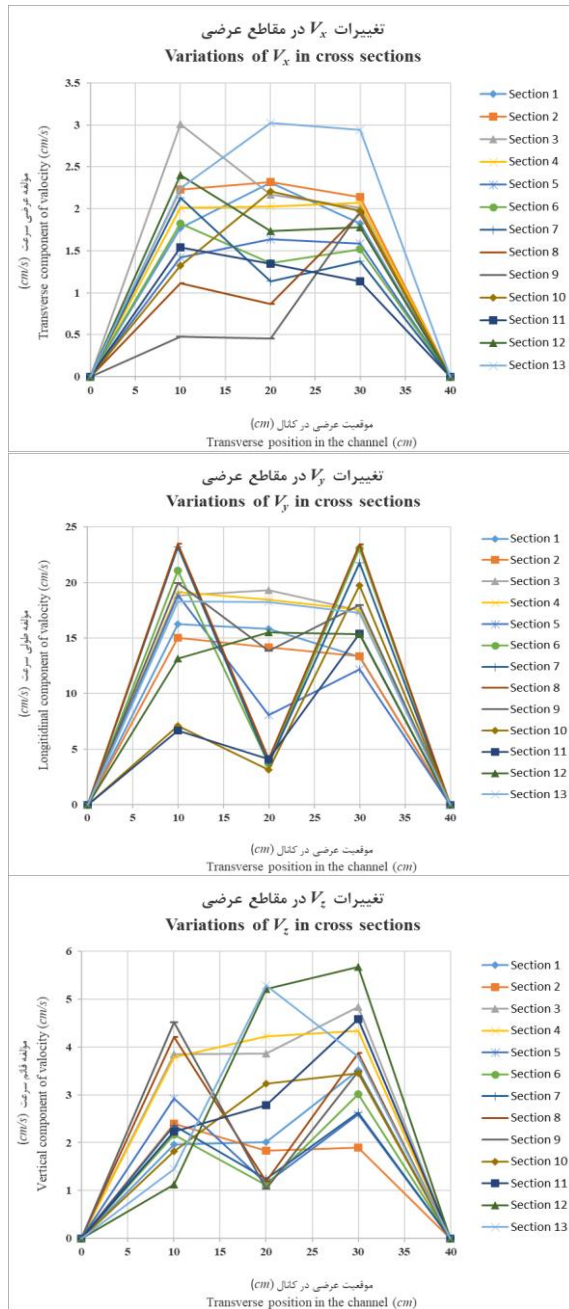


شکل ۹- تغییرات مقادیر نسبی مؤلفه قائم سرعت در طول کanal در مواجهه با پشتهداری مختلف بیضی، گوهای و لوزی.

Figure 9. Variations in the relative values of the vertical component of the velocity along the channel in the face of different elliptical, lemniscate, and rhombic bars.

تغییرات مؤلفه قائم سرعت در محور وسط نشانده‌نده بیشترین کاهش سرعت آن قبل از بازه شروع مواجهه با پشتهداری شکل و شرایطی مشابه برای همین محور در مواجهه با پشتهداری گوهای است با این تفاوت که آغاز این کاهش منطبق با بازه حضور پشتهداری گوهای است.

شکل ۹ ارائه‌دهنده تغییرات مقادیر نسبی مؤلفه قائم سرعت است. این تغییرات در هر سه محور برای پشتهداری لوزی ناچیز (بین  $0/8$  تا  $1/2$  برابر مقدار پشتهداری بیضی) است. اما تغییرات این مؤلفه در مواجهه با پشتهداری گوهای و بیضی بیشتر و در هر سه محور قابل توجه (بین  $0/5$  تا  $2/3$  برابر مقدار میانگین) است.



شکل ۱۰- مقایسه تغییرات مؤلفه‌های سرعت در مقاطع عرضی در مواجهه با پشتۀ بیضی.

Figure 10. Comparison of variations in velocity components in cross-sections facing the elliptical bar.

در شکل ۱۰، روند تغییرات مؤلفه‌های عرضی، طولی و قائم سرعت جريان در مقاطع عرضی در مواجهه با پشتۀ بیضی شکل به صورت تجمعی شده برای ۱۳ مقطع عرضی ارائه شده است. لازم به ذکر است مطابق شکل ۳، بازه مکانی حضور پشتۀ در فاصله ۴۰ تا ۸۰ سانتی‌متری از ابتدای محل اندازه‌گیری هاست که همان مقاطع عرضی شماره ۶ تا ۱۰ می‌باشد.

بر پایه مشاهدات و بررسی‌های ارائه شده در بالا، مواجهه با پشتۀ بیضی شکل منجر به بیشترین تغییرات مقادیر نسبی مؤلفه‌های سه‌گانه سرعت شده است. بر این اساس، می‌توان با ملاحظه جزئیات بیشتر تغییرات در مقاطع عرضی (شکل ۱۰)، به تحلیل کامل تری دست یافت.

$$E = Z + \frac{P}{\gamma} + \alpha \frac{V^2}{2g} \quad (2)$$

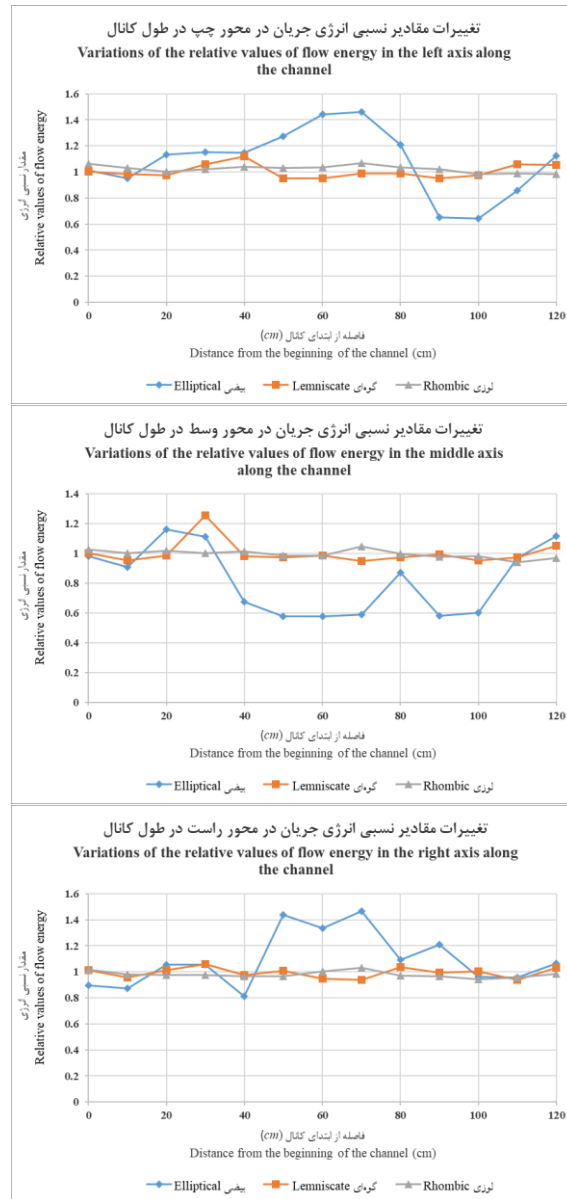
که در آن،  $E$  مقدار کل بار انرژی (متر)،  $Z$  بار هیدرواستاتیک (ارتفاع از سطح مبنای) (متر)،  $\frac{P}{\gamma}$  بار فشاری (متر) و  $\frac{V^2}{2g}$  بار جنبشی (متر) و  $\alpha$  ضریب تصحیح انرژی جنبشی (ناشی از غیریکنواختی جریان) است. همچنین در جریان‌های مجاری روباز، مقدار بار فشاری  $(\frac{P}{\gamma})$  معادل با عمق جریان خواهد بود. بنابراین، بُعد تمامی جملات در رابطه فوق، طول می‌باشد.

در شکل ۱۱، تغییرات مقادیر نسبی انرژی جریان در محورهای چپ، وسط و راست در مواجهه با پسته‌های مختلف ارائه شده است.

مقایسه کلی خطوط ارائه شده، نشان‌دهنده اختلاف شرایط حاکم بر جریان در مواجهه با پسته بیضی‌شکل در قیاس با دوپسته دیگر است. تغییرات بار انرژی کل ناشی از حضور دوپسته لوزی و گوهای ناچیز است در حالی که مشابه با تغییرات سرعت جریان در هر سه مؤلفه عرضی، طولی و قائم، پسته بیضی منجر به تغییرات قابل توجهی در مقادیر نسبی بار کل انرژی در طول کanal شده است. بررسی جزئی‌تر نمودارها نشان می‌دهد که در محورهای چپ و راست، مواجهه‌شدن با پسته بیضی منجر به افزایش انرژی نسبی جریان به اندازه  $1/4$  برابر میانگین شده و پس از عبور از پسته، بار انرژی به کم‌تر از مقدار میانگین کاهش یافته است. اما در محور وسط، وجود پسته، انرژی نسبی جریان را به  $0/6$  مقدار میانگین کاهش داده و پس از عبور از پسته، این مؤلفه روند افزایشی داشته است.

روند حاکم بر تغییرات مؤلفه عرضی سرعت در طی این بازه (شکل ۱۰)، نشان می‌دهد که در مقاطع ۶ و ۷، مقدار مؤلفه عرضی سرعت در محور سمت چپ (فاصله ۱۰ سانتی‌متری از دیواره سمت چپ) بیش‌تر از محورهای وسط و راست است؛ اما در مقاطع ۸ و ۹، این شرایط تغییر کرده و مقدار این مؤلفه در محور راست بیش‌تر از مقدار آن در دو محور دیگر است. بررسی تغییرات مؤلفه عرضی سرعت در طی بازه، نشان‌دهنده ساختاری است که در مقاطع ۶ تا ۱۰ حاکم بوده و طبق آن، مؤلفه طولی سرعت در دو محور کناری چپ و راست تقریباً یکسان و بیش‌تر از مقدار آن در محور وسط است. بررسی تغییرات مؤلفه قائم سرعت در طی بازه پسته نیز گویای ساختاری مشابه است به‌طوری‌که در دو محور کناری چپ و راست، مؤلفه قائم سرعت تقریباً یکسان بوده و از مقدار آن در محور وسط بیش‌تر است. این امر می‌تواند ناشی از تمرکز وجود پسته در محور وسط کanal باشد که منجر به کاهش جریان‌های قائم شده است.

تأثیر مستقیم مواجهه با پسته‌های رسوبی را علاوه‌بر مقادیر مؤلفه‌های سرعت، باید بر مقادیر انرژی جریان به عنوان معرف تجمیعی قدرت فرسایندگی جریان نیز جستجو نمود. بر این اساس، برای ۱۳ مقطع عرضی و با استفاده از مقادیر مؤلفه طولی سرعت، مقادیر اندازه‌گیری شده عمق جریان در سه محور چپ، وسط و راست کanal آزمایشگاهی و با در نظر گرفتن مقدار ارتفاع کف نسبت به سطح مبنای، بر اساس معادله انرژی (رابطه ۲)، محاسبه می‌شود:



شکل ۱۱- تغییرات انرژی جریان در طول کanal در مواجهه با پشت‌های مختلف بیضی، گوهای و لوزی.

**Figure 11. Changes in flow energy along the channel in the face of different elliptical, lemnistic, and rhombic bars.**

لوزی و گوهای، مشابه و ناچیز بوده و متفاوت با اثر پشت‌های بیضی، با تغییرات قابل توجه بود. بررسی تغییرات مؤلفه قائم سرعت نیز نشان می‌دهد که این مؤلفه، در مواجهه با پشت‌های لوزی و گوهای دچار تغییرات قابل توجه شده، ولی تأثیر پشت‌های بیضی شکل بر روی آن زیاد نبود. بررسی تغییرات مقادیر نسبی مؤلفه عرضی سرعت در طول کanal در مواجهه با پشت‌های مختلف،

### نتیجه‌گیری کلی

در این پژوهش، ساختار تغییرات جریان در اثر حضور پشت‌های رسوی با شکل‌های مختلف مورد مطالعه قرار گرفت. بررسی تغییرات مؤلفه‌های سه‌گانه سرعت بر پایه نمودارهای هم‌سرعت نشان داد که اثر پشت‌های بیضی و گوهای بر روی مؤلفه عرضی سرعت، مشابه و متفاوت با اثر پشت‌های لوزی است. از نظر تغییرات مؤلفه طولی سرعت، اثر پشت‌های

پژوهش حاضر در قالب رساله دکتری نویسنده اول در دانشگاه علوم کشاورزی و منابع طبیعی گرگان صورت گرفته است و نویسنده اول از دانشگاه علوم کشاورزی و منابع طبیعی گرگان که موجبات تسهیل انجام این پژوهش و دسترسی به آزمایشگاه تحقیقات آب و رسوب را فراهم نموده‌اند تقدیر و تشکر می‌نمایند.

### داده‌ها و اطلاعات

داده‌های این پژوهش مربوط به رساله دکتری نویسنده اول می‌باشد که حاصل فعالیت‌های آزمایشگاهی وی در آزمایشگاه تحقیقات آب و رسوب دانشگاه علوم کشاورزی و منابع طبیعی گرگان است.

### تعارض منافع

در این مقاله تعارض منافع وجود ندارد و این مسئله مورد تأیید همه نویسنده‌اند.

### مشارکت نویسنده‌اند

مشارکت نویسنده‌اند در این پژوهش به صورت زیر است:

- نویسنده اول: جمع‌آوری اطلاعات لازم و پیشینه پژوهش، آماده‌سازی کanal و مدل آزمایشگاهی، انجام آزمایش‌ها و جمع‌آوری اطلاعات آزمایشگاهی، تجزیه و تحلیل اطلاعات، نگارش و تدوین متن مقاله و انجام اصلاحات.
- نویسنده دوم: نویسنده مسئول، استاد راهنمای رساله، هدایت مسیر آزمایش‌ها.
- نویسنده سوم: استاد مشاور رساله، طرح اولیه موضوع پژوهش.
- نویسنده‌اند چهارم و پنجم: استاد مشاور رساله.

### اصول اخلاقی

نویسنده‌اند، اصول اخلاقی را در انجام و انتشار این اثر رعایت نموده‌اند و این موضوع مورد تأیید همه آن‌ها می‌باشد.

حکایت از نوسانات مقادیر این مؤلفه در هر سه محور چپ، وسط و راست داشت به‌نحوی که در محدوده حضور پشتهداری، مقادیر سرعت، قدرتی دچار کاهش شده و پس از عبور از پشتهداری مجددًا افزایش می‌یابند. این کاهش سرعت جریان عرضی در ابتدای برخورد با پشتهداری رسوبی می‌تواند منجر به کاهش قدرت فرسایندگی جریان و مهیا شدن شرایط رسوب‌گذاری شده و پس از آن با افزایش سرعت، قدرت فرسایندگی جریان افزایش خواهد یافت. با وجود اختلاف در چگونگی تغییرات مؤلفه عرضی سرعت در محورهای مختلف در مواجهه با پشتهداری بیضی، گوهای و لوزی، در تمامی موارد، دامنه تغییرات بین  $0/4$  تا  $1/6$  برابر مقدار میانگین مشاهده شد. حضور پشتهداری بیضی منجر به نوسانات قابل توجه مؤلفه طولی در راستای جریان در هر سه محور شد؛ اما برای پشتهداری گوهای و لوزی این نوسانات چندان چشمگیر نبود. تغییرات مقادیر نسبی مؤلفه قائم سرعت در هر سه محور، برای پشتهداری لوزی ناچیز، ولی برای پشتهداری گوهای و بیضی قابل توجه بود. در مجموع، مواجهه با پشتهداری بیضی شکل، بیشترین تغییرات مقادیر نسبی مؤلفه‌های سه‌گانه سرعت را نشان داد.

بررسی تغییرات مقدار نسبی انرژی جریان به عنوان معرف قدرت فرسایندگی جریان، نشان‌دهنده اختلاف شرایط در مواجهه با پشتهداری با دو پشتهدار دیگر است. تغییرات بار انرژی کل ناشی از حضور دو پشتهدار لوزی و گوهای ناچیز است در حالی که مشابه با تغییرات سرعت جریان در هر سه مؤلفه عرضی، طولی و قائم، پشتهداری بیضی منجر به تغییرات قابل توجهی در مقادیر نسبی بار کل انرژی در طول کanal شده است.

### تقدیر و تشکر

نویسنده‌اند از داوران این مقاله که با نظرات خود موجب بهبود متن حاضر شده‌اند تشکر می‌نمایند.

این پژوهش از امکانات آزمایشگاه آب و رسوب دانشگاه علوم کشاورزی و منابع طبیعی گرگان استفاده شده است.

### حمایت مالی

حمایت مالی از این پژوهش در قالب پژوهانه دانشجویی نویسنده اول برای رساله دکتری بوده و در

### منابع

- 1.Mat Salleh, M., & Ariffin, J. (2013). Flow and sediment matrix in mid-channel bar formation. *Int. J. Sci. Eng. Res.*, 4 (5), 1757-1764.
- 2.Carling, P., Orr, H., & Kelsey, A. (2006). The dispersion of magnetite bedload tracer across a gravel point-bar and the development of heavy-mineral placers. *Ore Geology Reviews*, 28 (4), 402-416.
- 3.Wang, B., & Xu, Y. J. (2018). Dynamics of 30 large channel bars in the Lower Mississippi River in response to river engineering from 1985 to 2015. *Geomorphology*, 300, 31-44.
- 4.Cardenas, M. B. (2008). The effect of river bend morphology on flow and timescales of surface water–groundwater exchange across pointbars. *Journal of Hydrology*, 362 (1-2), 134-141.
- 5.Kim, Y. H., & Voulgaris, G. (2005). Effect of channel bifurcation on residual estuarine circulation: Winyah Bay, South Carolina. *Estuarine, Coastal and Shelf Science*, 65 (4), 671-686.
- 6.Dey, S. (2014). *Fluvial hydrodynamics*. 687 Pages. Springer Berlin, Heidelberg.
- 7.Wyrick, J., & Klingeman, P. (2011). Proposed fluvial island classification scheme and its use for river restoration. *River research and applications*, 27 (7), 814-825.
- 8.Beechie, T. J., Liermann, M., Pollock, M. M., Baker, S., & Davies, J. (2006). Channel pattern and river-floodplain dynamics in forested mountain river systems. *Geomorphology*, 78 (1-2), 124-141.
- 9.Li, Z., Wang, Z., Pan, B., Zhu, H., & Li, W. (2014). The development mechanism of gravel bars in rivers. *Quaternary International*, 336, 73-79.
- 10.Ward, J. V., Tockner, K., Edwards, P. J., Kollmann, J., Bretschko, G., Gurnell, A. M., ... & Rossaro, B. (1999). A reference river system for the Alps: the 'Fiume Tagliamento'. *River research and applications*, 15 (1-3), 63-75.
- 11.Wyrick, J. R. (2005). *On the formation of fluvial islands*: Oregon State University.
- 12.Chen, Y., Lin, B., & Han, H. (2018). *Experimental study on mid-channel bar formation in alluvial river*. Paper presented at the EGU General Assembly Conference Abstracts.
- 13.Hua, Zu-lin, Gu, Li, & Chu, Ke-jian. (2009). Experiments of three-dimensional flow structure in braided rivers. *Journal of Hydrodynamics, Ser. B*, 21 (2), 228-237.
- 14.Komar, P. D. (1983). Shapes of streamlined islands on Earth and Mars: Experiments and analyses of the minimum-drag form. *Geology*, 11 (11), 651-654.
- 15.Bonakdari, H., Lipeme-Kouyi, G., & Lal Asawa, G. (2014). Developing turbulent flows in rectangular channels: A parametric study. *Journal of applied research in water and wastewater*, 1 (2), 51-56.
- 16.Kirkgoz, M. S., & Ardiçlioğlu, M. (1997). Velocity profiles of developing and developed open channel flow. *Journal of hydraulic engineering*, 123 (1), 1099-1105.
- 17.Nikora, V., Goring, D., & Biggs, B. (1998). Silverstream eco-hydraulics flume: Hydraulic design and tests. *New Zealand Journal of Marine and Freshwater Research*, 3 (4), 607-620.
- 18.Abdolhosseini, M., & Afzalimehr, H. (2005). Comparison of flow determination methods in natural streams using field measurement of flow velocity. *The second national conference on watershed management and water and soil resources management*. Kerman Shahid Bahonar University. [In Persian]